

Следует отметить, что рассматриваемая модель процесса испарения даже в предположении $\theta(T) = \text{const}$ качественно объясняет различие значений энергии активации ΔE процесса свободного испарения в вакууме и энталпии испарения ΔH галлия и индия. Действительно, из (1) следует, что в рассматриваемом интервале температур с большой точностью имеет место приближение

$$\frac{\exp\left(-\frac{\Delta H}{RT}\right)}{\sqrt{T}} = \exp\left(-\frac{\Delta E}{RT}\right), \quad (2)$$

где R — универсальная газовая постоянная.

Из соотношения (2) видно, что $\Delta H > \Delta E$, и это действительно подтверждается экспериментально.

Список литературы

- [1] Термодинамические свойства индивидуальных веществ / Под ред. В.П. Глушко. М.: Наука, 1964. Т. 3. 395 с.
- [2] Ландау Л.Д., Либшиц Е.М. Статистическая физика. М.: Наука, 1976. 583 с.
- [3] Гиршфельдер Дж., Кертисс Ч., Берд Р. Молекулярная теория газов и жидкостей. М.: ИЛ, 1961. 929 с.

02:04;07

Журнал технической физики, т. 66, в. 4, 1996

ИССЛЕДОВАНИЕ ХАРАКТЕРИСТИК ИЗЛУЧЕНИЯ НЕПРЕРЫВНОЙ ПЛАЗМЕННОЙ СТРУИ НА СМЕШЕНИИ ИНЕРТНЫХ ГАЗОВ С МОЛЕКУЛАМИ CCl_4 , HCl И SF_6

© В.С.Рогулич, В.С.Шевера

Ужгородский государственный университет,
294000 Ужгород, Украина
(Поступило в Редакцию 10 марта 1995 г.)

Для решения многих научных и технических задач (взаимодействие излучения с веществом, фотохимия, микро- и химическая технология и т. д.) крайне необходимы мощные источники спонтанного и вынужденного излучения. В настоящее время [1–4] существенный интерес здесь представляют разработка непрерывных источников излучения и поиск новых перспективных способов накачки активных сред различных модификаций плазмохимических лазеров.

В настоящей работе проведено исследование характеристик излучения эксимерных молекул XeCl^* и KrF^* в плазменной струе на смешении сверхзвуковых потоков плазмы инертных газов (Ar , He , Kr , Xe) с невозбужденными потоками галогеноносителей CCl_4 , HCl и SF_6 . Получены данные об эффективности возбуждения XeCl^* и KrF^* в непрерывных плазменных потоках с участием галогенов. Такие исследования являются актуальными и связаны с решением проблемы создания непрерывных плазмодинамических лазеров высокой удельной мощности в УФ диапазоне спектра.

Эксперименты проведены на плазмотронной установке, детально описанной в [1,2]. Источником струи плазмы служит плазмотрон постоянного тока, при этом диапазон изменения тока дуги $I = 50-200$ А, падение напряжения на разрядном промежутке $U = 15-40$ В. Применились медные и графитовые сопла критических диаметров ~ 5 мм. Галогеносодержащие молекулы CCl_4 , HCl и SF_6 вводились в предварительно полученные потоки плазмы инертных газов как в предсопловой камере, так и за соплом на различных дистанциях от него.

Проведена оптимизация условий образования эксимерных молекул XeCl^* и KrF^* по способам смешения инертных и галогеносодержащих газов, компонентному составу и давлению, роду галогеноносителя и т. д. Установлены условия получения максимальной интенсивности излучения эксимерных молекул при вводимой в плазмотрон мощности до 8 кВт. Получены данные о заселенности возбужденных молекул в плазменном потоке.

Определение концентраций возбужденных молекул проводилось оптическим методом, основанным на сравнении интенсивностей излучения от струи плазмы и источника с известным распределением энергии по спектру. В качестве эталонного источника использовалась ленточная вольфрамовая лампа СИ 10-300У и водородная лампа ДВС-25.

Установлено, что в смесях инертных газов с CCl_4 и SF_6 возбуждение XeCl^* и KrF^* является более эффективным при смешении газовых компонентов за соплом в двухкомпонентных смесях $\text{Xe}(\text{Kr})-\text{CCl}_4(\text{SF}_6)$, т. е. в смесях без участия буферного газа Ar или He . По отношению к смесям инертных газов с CCl_4 образование XeCl^* в смеси HCl проходит эффективно только при введении хлористого водорода в предсопловую камеру плазмотрона. В смесях с CCl_4 , наоборот, эффективным для возбуждения XeCl^* является вариант подмешивания CCl_4 в поток плазмы за соплом, при этом интенсивность излучения $\lambda = 308$ нм XeCl^* увеличивается примерно на порядок по отношению к вводу молекул четыреххлористого углерода в предсопловую камеру.

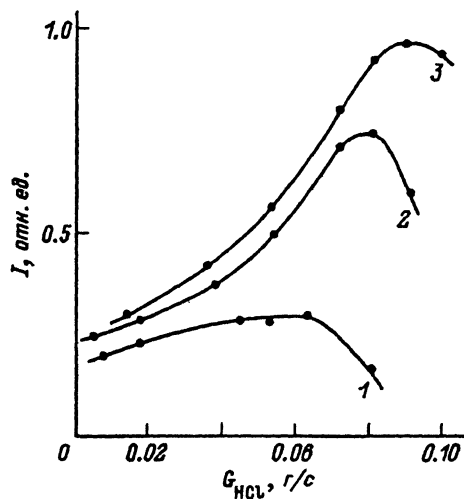


Рис. 1. Зависимость интенсивности излучения $\lambda = 308$ нм XeCl^* от расходов Xe и HCl в смеси $\text{Ar}-\text{Xe}-\text{HCl}$.

$G_{\text{Xe}}, \text{г/с: } 1 - 0.2, 2 - 0.3, 3 - 0.4$.

Методом сравнения интенсивностей измерены абсолютные величины концентраций XeCl^* и KrF^* в плазменной струе. Концентрация эксимерных молекул в смесях с CCl_4 достигает величины $2 \cdot 10^{10} \text{ см}^{-3}$ и эквивалентна полной удельной мощности $\sim 1 \text{ Вт}/\text{см}^3$ спонтанного излучения XeCl^* при КПД преобразования электрической энергии в излучение $\sim 0.02\%$. В смесях с HCl соответствующие параметры примерно на порядок ниже, что свидетельствует о том, что в условиях плазменной струи при низких значениях электронной температуры [1] ($T_e = 0.1\text{--}0.2 \text{ эВ}$) более эффективным для возбуждения XeCl^* является галогенагент CCl_4 . Что касается KrF^* , то по отношению к ранее полученным результатам [1,2], где значение возбужденных молекул составило величину $5 \cdot 10^{11} \text{ см}^{-3}$, нам удалось увеличить плотность KrF^* в 1.5 раз, т. е. достичь значения $7 \cdot 10^{11} \text{ см}^{-3}$ в основном за счет увеличения расходов эксимеробразующих компонентов и эффективности смешения газов. При этом удельная плотность излучения полосы KrF^* составила величину $\simeq 40 \text{ Вт}/\text{см}^3$, а КПД преобразования энергии $\geq 2\%$.

Для изучения вопроса о достижении максимального выхода эксимерных молекул в плазменной струе исследованы зависимости интенсивности излучения $\lambda = 308 \text{ нм}$ XeCl^* и $\lambda = 249 \text{ нм}$ KrF^* от расходов газов и вводимой в дуговой разряд плазмотрона мощности. Зависимость от мощности является особенно важной, поскольку дает информацию о КПД преобразования электрической энергии в излучение.

Эксперименты показали, что с увеличением как расходов газов, так и введенной в плазмотрон мощности интенсивности излучения полос XeCl^* и KrF^* увеличиваются. В качестве примера такая информация для $\lambda = 308 \text{ нм}$ XeCl^* в смеси $\text{Ar}-\text{He}-\text{HCl}$ представлена на рис. 1. Видно, что при фиксированной величине энерговклада максимум интенсивности излучения XeCl^* смещается в сторону более высоких расходов

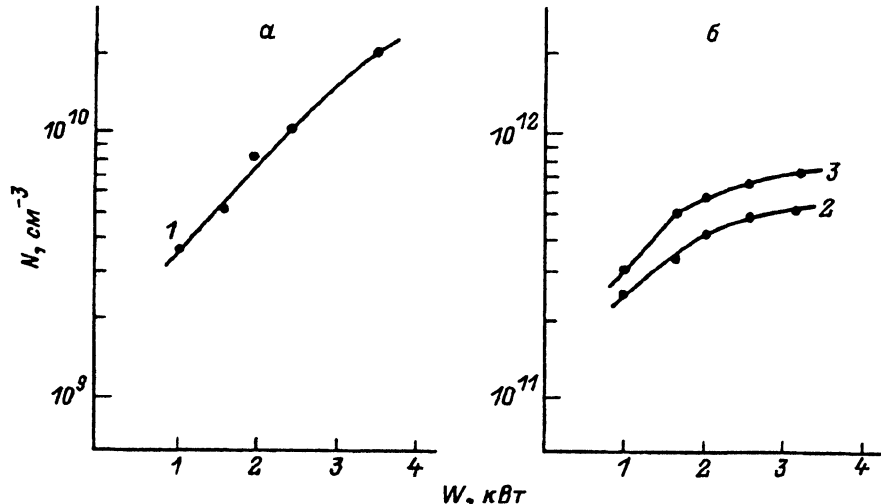


Рис. 2. Зависимость концентраций XeCl^* (a) и KrF^* (б) от вводимой в дуговой разряд мощности.

1 — $\text{Ar}-\text{Xe}-\text{CCl}_4$ ($G_{\text{Xe}} = 0.5 \text{ г}/\text{с}$, $G_{\text{CCl}_4} = 0.07 \text{ г}/\text{с}$, $G_{\text{Ar}} = 0.1 \text{ г}/\text{с}$); 2 — $\text{Kr}-\text{SF}_6$ ($G_{\text{Kr}} = 0.68 \text{ г}/\text{с}$, $G_{\text{SF}_6} = 0.72 \text{ г}/\text{с}$); 3 — $\text{Kr}-\text{SF}_6$ ($G_{\text{Kr}} = 0.7 \text{ г}/\text{с}$, $G_{\text{SF}_6} = 0.75 \text{ г}/\text{с}$).

дов рабочих компонентов. Кривые 1–3 получены при фиксированных расходах Xe и вводимой мощности $W = 1.7$ кВт.

Зависимость интенсивностей излучения $\lambda = 308$ нм XeCl^* и $\lambda = 249$ нм KrF^* в смесях $\text{Ar}-\text{Xe}-\text{CCl}_4$ и $\text{Kr}-\text{SF}_6$ от вводимой мощности представлена на рис. 2. Здесь выход эксимерных молекул дан в абсолютных единицах — концентрациях возбужденных $B^2\Sigma$ -состояний. Из представленных зависимостей следует, что как для XeCl^* , так и KrF^* с увеличением вводимой в дуговой разряд мощности выход эксимерных молекул возрастает и имеется еще значительный ресурс его увеличения.

В целом из полученных результатов следует, что самые высокие значения концентраций возбужденных молекул достигнуты для KrF^* и составляют величину $\sim 10^{12}$ см $^{-3}$. Данная величина концентрации позволила провести оценку коэффициента усиления на $B \rightarrow X$ -переходе KrF^* , значение которого равно $\simeq 2 \cdot 10^{-4}$ см $^{-1}$. Очевидно, что для достижения порога генерации $\sim 10^{-2}$ см $^{-1}$ необходимо увеличить плотность KrF^* более чем на порядок, что связано в основном с существенным увеличением энерговклада и повышением расходов рабочих компонентов. По оценкам для достижения пороговых значений инверсии необходимо при достигнутом КПД $\geq 2\%$ ввести в плазмотрон удельную мощность по крайней мере не меньше 30–50 кВт/см 2 и обеспечить условия получения протяженных однородных потоков плазмы при расходах и давлениях газов, близких к атмосферным.

Таким образом, полученные в эксперименте данные свидетельствуют о том, что плазменный поток является высокоинтенсивным источником УФ излучения и может служить в качестве активной среды для непрерывного ОКГ.

Список литературы

- [1] Рогулич В.С., Стородуб В.П., Шевера В.С. // ЖТФ. 1988. Т. 58. Вып. 10. С. 1893–1896.
 - [2] Рогулич В.С., Стородуб В.П., Шевера В.С. // Опт. и спектр. 1990. Т. 69. Вып. 4. С. 756–758.
 - [3] Алексин А.А., Баринов В.А., Герасько Ю.А. и др. // ЖТФ. 1993. Т. 63. Вып. 2. С. 65–73.
 - [4] Алексин А.А., Баринов В.А., Герасько Ю.А. и др. // ЖТФ. 1993. Т. 63. Вып. 2. С. 43–51.
-